

THINK TECH FORWARD

YIZUMI

Projeto feito pela YIZUMI, fevereiro de 2024

# SKIII

## 90T-1000T

MÁQUINA DE MOLDAGEM POR INJEÇÃO  
DE PROPÓSITO GERAL SÉRIE SKIII  
Criando mais valor para os clientes



### Yizumi Precision Molding Technology Co., Ltd.

Address: No.12 Shunchang Road, Shunde, Foshan, Guangdong 528300, China

TEL: 86-757-2921 9764 86-757-2921 9001(overseas) Email: imm@yizumi.com

[www.yizumi.com](http://www.yizumi.com)

#### [ATENÇÃO]

[1] A YIZUMI reserva-se o direito de modificar a descrição do produto no catálogo. A especificação pode ser alterada sem aviso prévio.

[2] A imagem no catálogo é apenas para referência. O objeto real deve ser considerado como final.

[3] Os dados no catálogo são obtidos de testes internos no laboratório YIZUMI.

Por favor, consulte a máquina real para os dados finais. A YIZUMI reserva-se o direito de interpretação final sobre disputas e ambiguidades.



THINK TECH FORWARD

## Propostas de valor central

### Mais efetiva

#### Melhor velocidade de injeção

Com um sistema de energia recentemente atualizado, a velocidade de injeção é aumentada em 15%-25%, enquanto a velocidade média de injeção para máquinas abaixo de 530T excede 100 mm/s, melhorando significativamente a eficiência da produção e a qualidade do produto.

#### Efeito de plastificação melhorado

O novo design otimizado do parafuso aumenta muito a velocidade do parafuso, melhorando a capacidade de plastificação em 5% a 10%.

#### Tempo de ciclo mais curto

O tempo de ciclo da máquina foi melhorado em mais de 5%, para aumentar a eficiência.

### Mais estável

#### Nova melhoria na tecnologia de fechamento

Aumento na rigidez do mecanismo de fechamento para aplicar uniformemente a força de fechamento. Fortalecemos a força central para melhorar a confiabilidade e durabilidade.

#### Estrutura da unidade de injeção e componentes plastificantes

Novo design de guia linear reduz defeitos do produto

#### Sistema elétrico

Atualizado para o novo controlador da série KEBA com telas maiores e troca de página mais suave.

### Aplicabilidade melhorada

#### O oferece mais especificações, mais potência, resposta mais rápida e controle de palco mais preciso.

#### Ampla gama de aplicações de produtos e matérias-primas.

### Mais economia de energia

#### Novo projeto de circuito hidráulico

Projeto de adaptabilidade otimizado de linhas de controle e válvulas de óleo para minimizar a perda de pressão

#### Estrutura otimizada da unidade de injeção para menor resistência e maior eficiência energética

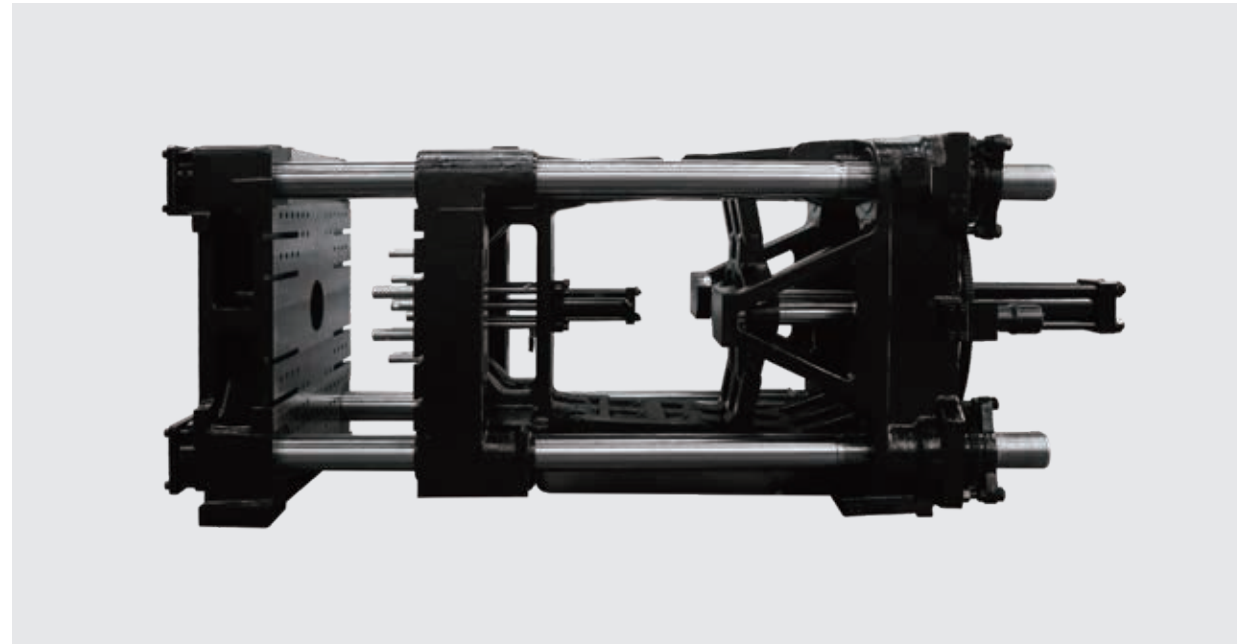
Guias lineares de alta precisão para transporte e injeção. Utiliza vedação de óleo de baixo atrito para reduzir a resistência ao atrito.

#### Sistema servo atualizado para maior eficiência energética

Adota um sistema servo de nova geração com bomba de engrenagens para maior velocidade de rotação e menor consumo de energia

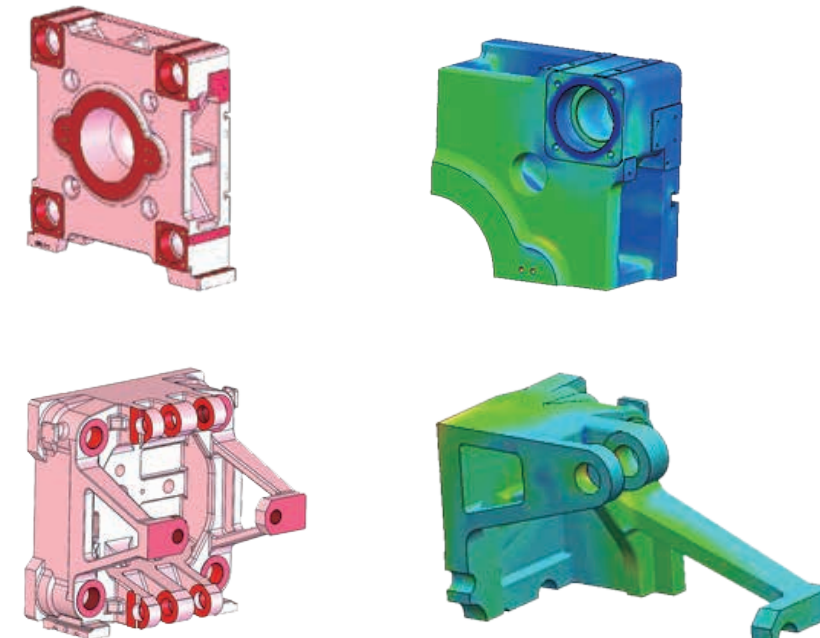


## Unidade de fechamento



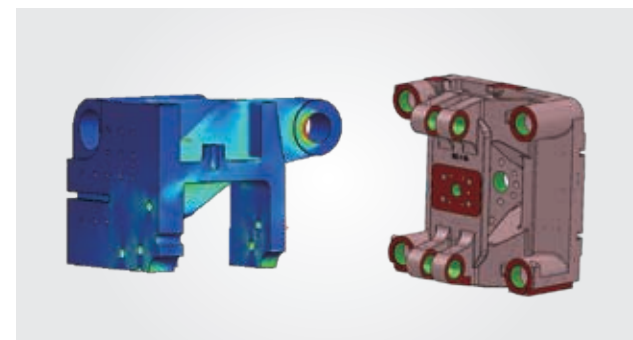
Otimização abrangente da unidade de fechamento que aumenta a rigidez geral da unidade de fechamento através da adoção de placa móvel com suporte central forte, placa fixa de alta rigidez e placa móvel:

A série SKIII é equipada com design de placa modular (ranhura em T + furos de montagem) para facilitar a carga/descarga do molde e, ao mesmo tempo, aumentar a rigidez geral da placa.



### Estrutura de placa fixa e placa traseira altamente rígida

Otimização da estrutura da placa fixa e da placa traseira para aumentar a rigidez e reduzir a deformação do molde

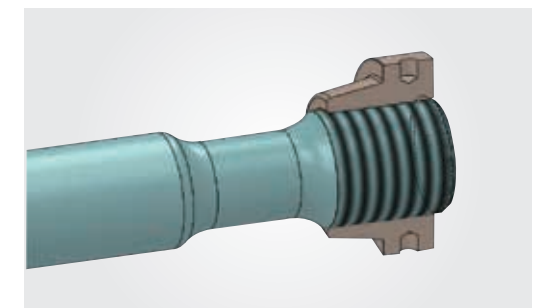


### Forte suporte central para a estrutura da placa móvel

- ▶ A placa móvel com forte suporte central minimiza a deformação da placa e consegue uma distribuição uniforme da força de fechamento.
- ▶ Usa menor força de fechamento para reduzir a deformação da cavidade do molde, melhorar a precisão da moldagem do produto e economizar energia.

### Estrutura da coluna e da porca da coluna

O design exclusivo da ranhura de descarga da coluna e o design do diâmetro do passo para as rosas da coluna e da porca da coluna reduzem muito a concentração de tensão, não causam danos à coluna e à porca da coluna e melhoram a confiabilidade.



## Unidade de Injeção



### Unidade de injeção atualizada

- ▶ Estrutura de guia linear de injeção: reduz o atrito do movimento, aumenta a precisão da injeção e aumenta a eficiência da plastificação.
- ▶ Guia de carro linear com cilindro duplo: Resistência ao atrito de movimento reduzida para fácil operação e manutenção.
- ▶ Todas as guias lineares para unidades de injeção adotam autolubrificação e design de câmara de óleo para atingir 10 anos de produção sem manutenção de lubrificação, reduzindo a poluição da oficina e do meio ambiente causada pela evaporação do lubrificante.



### Unidade de injeção otimizada

- ▶ Suporte de carro integral: Adota um suporte de carro integral para avançar os pontos de apoio. Placa de injeção fixa para melhorar a estabilidade da seção de injeção.

### Componentes plastificantes

- ▶ Nova geração de componentes plastificantes de baixo cisalhamento e alta mistura: Melhora a eficiência e a qualidade da plastificação e melhora a repetibilidade do peso da injeção;
- ▶ Maior aplicabilidade de matérias-primas e melhor efeito de mistura de cores.



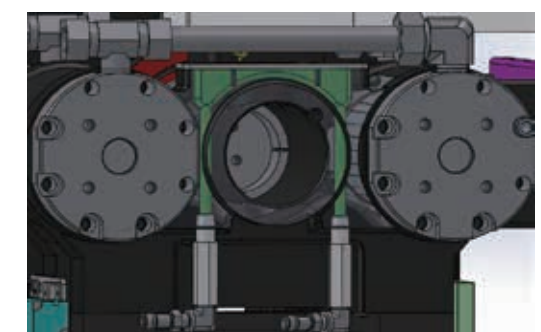
### Protetor de bico móvel

Proteção especial do bico patenteada pela YIZUMI: A proteção do bico move-se juntamente com o cilindro, o que é conveniente para operação e observação.



### Sistema de refrigeração recentemente atualizado

- ▶ Circuitos de água de resfriamento integrados: aumentam a área de resfriamento, melhoram o efeito de resfriamento em mais de 100%, reduzem o risco de colmatar matérias-primas e facilitam a substituição do conjunto do cilindro.
- ▶ Troca mais fácil da unidade de injeção para reduzir o tempo de produção.



### Corrediça do funil com rolamentos

- ▶ Nova geração de trilhos deslizantes selados com rolamentos: Permitem um deslizamento mais suave com menos esforço. Reduz o vazamento de material.

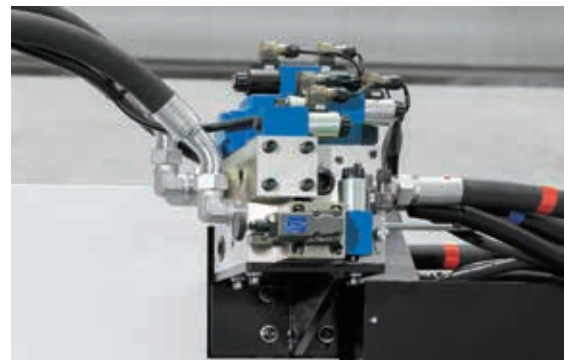


## Sistema Hidráulico



### Tecnologia servo economizadora de energia de quarta geração da YIZUMI

O novo sistema de servoacionamento adota tecnologia de duto de ar de peça única, oferecendo alta velocidade e baixo ruído.



#### Resposta mais rápida

Velocidade de resposta de injeção/plastificação dentro de 150 ms para uma ampla gama de aplicações de processo.

#### Poder mais forte

Alta velocidade de resposta para injeção/plastificação para uma ampla gama de aplicações de processo.



#### Design de circuito hidráulico totalmente novo

Projeto de circuito de óleo otimizado para menor perda de pressão e maior economia de energia: Usa princípio hidráulico otimizado e projeto de tubulação de placa de válvula para reduzir a perda de pressão de óleo e melhorar a economia de energia.

#### Vedaçāo de óleo de baixo atrito

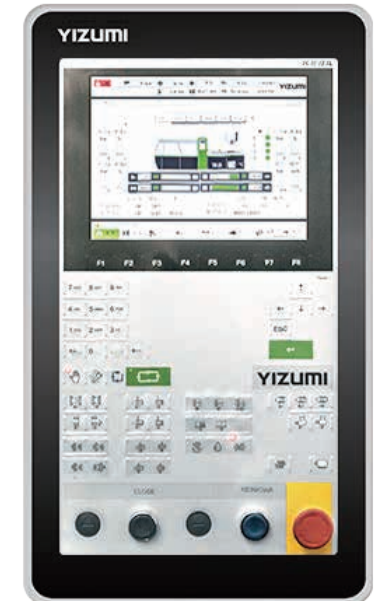
Reduz o calor friccional e a perda de energia.

## Sistema elétrico

### Sistema de controle com maior valor

#### Sistema KEBA atualizado

- ▶ Expansível com vários módulos, incluindo AO, AI, DO, DI e TM para atender a mais requisitos;
- ▶ Monitoramento em tempo real de sinais de sensores equipados nas máquinas para coordenar movimentos correspondentes para maior segurança operacional;
- ▶ Suporta interface de comunicação RS232/485 comum, CANOPEN, porta Ethernet, conector do sensor de compensação de temperatura e porta USB.



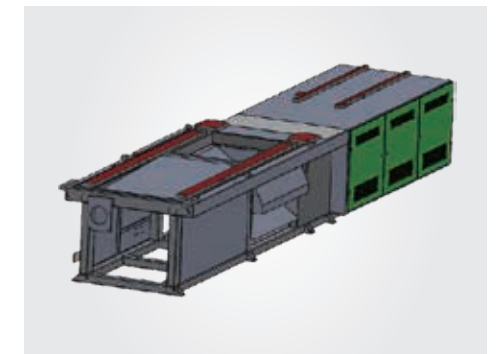
#### Controle linear de velocidade de 15 estágios

Oferece controle mais preciso. Resposta precisa ao fluxo de 1%. Ajuste de parâmetros mais fácil de usar.

## Unidade Geral

#### Estrutura integral de alta rigidez

- ▶ Estrutura da máquina soldada com construção de encaixe e espiga para melhorar a rigidez geral.
- ▶ Operação mais estável em alta velocidade, adequada para moldes pesados.



## Especificações

| Descrição                                  | Unidade | UN90SKIII      |       |       | UN120SKIII    |       |       | UN160SKIII     |       |       | UN200SKIII     |       |       | UN260SKIII    |       |        | UN320SKIII     |        |        |
|--|---------|----------------|-------|-------|---------------|-------|-------|----------------|-------|-------|----------------|-------|-------|---------------|-------|--------|----------------|--------|--------|
| Tamanho internacional                      |         | IU290          |       |       | IU400         |       |       | IU600          |       |       | IU880          |       |       | IU1000        |       |        | IU1800         |        |        |
|  |         | 295            |       |       | 421           |       |       | 604            |       |       | 896            |       |       | 1011          |       |        | 1810           |        |        |
| <b>Unidade de injeção</b>                  |         |                |       |       |               |       |       |                |       |       |                |       |       |               |       |        |                |        |        |
| Volume de injeção teórico                  | cm³     | 116.6          | 158.7 | 207.3 | 163.6         | 246.9 | 307.6 | 297.7          | 370.9 | 452.3 | 425.2          | 518.4 | 664.4 | 479.5         | 584.6 | 749.2  | 834.1          | 978.9  | 1135.3 |
| Peso da injeção (PS)                       | g       | 107.3          | 146.0 | 190.8 | 150.5         | 227.1 | 283.0 | 273.9          | 341.3 | 416.1 | 391.2          | 477.0 | 611.3 | 441.2         | 537.9 | 689.3  | 767.3          | 900.6  | 1044.4 |
|  | oz      | 3.8            | 5.2   | 6.7   | 5.3           | 8.0   | 10.0  | 9.7            | 12.1  | 14.7  | 13.8           | 16.9  | 21.6  | 15.6          | 19.0  | 24.4   | 27.1           | 31.8   | 36.9   |
| Diâmetro da rosca                          | mm      | 30             | 35    | 40    | 35            | 43    | 48    | 43             | 48    | 53    | 48             | 53    | 60    | 48            | 53    | 60     | 65             | 70     |        |
| Pressão de injeção                         | MPa     | 252.8          | 185.7 | 142.2 | 257.1         | 170.4 | 136.7 | 203.0          | 162.9 | 133.6 | 210.8          | 172.9 | 134.9 | 210.8         | 172.9 | 134.9  | 217.0          | 184.9  | 159.5  |
| Taxa de injeção                            | g/s     | 69.6           | 94.8  | 123.8 | 89.8          | 135.5 | 168.8 | 135.6          | 169.0 | 206.0 | 168.5          | 205.4 | 263.2 | 168.5         | 205.4 | 263.2  | 237.5          | 278.7  | 323.2  |
| Rosca L:D                                  |         | 24:1           | 20:1  | 20:1  | 24:1          | 20:1  | 20:1  | 22.3:1         | 20:1  | 20:1  | 22:1           | 20:1  | 20:1  | 22:1          | 20:1  | 22.6:1 | 20.9:1         | 19.4:1 |        |
| Efeito de plastificação                    | g/s     | 10.6           | 15.2  | 20.4  | 16.8          | 25.2  | 30.8  | 27.3           | 33.8  | 41.1  | 28.2           | 36.8  | 49.8  | 24.2          | 31.5  | 42.6   | 43.5           | 55.2   | 67.2   |
| Máx. velocidade de injeção                 | mm/s    | 107.1          |       |       | 101.4         |       |       | 101.5          |       |       | 101.2          |       |       | 101.2         |       |        | 91.3           |        |        |
| Curso da rosca                             | mm      | 165            |       |       | 170           |       |       | 205            |       |       | 235            |       |       | 265           |       |        | 295            |        |        |
| Velocidade da rosca                        | r/min   | 0-206          |       |       | 0-233         |       |       | 0-260          |       |       | 0-222          |       |       | 0-190         |       |        | 0-195          |        |        |
| <b>Unidade de fechamento</b>               |         |                |       |       |               |       |       |                |       |       |                |       |       |               |       |        |                |        |        |
| Força de fechamento                        | kN      | 900            |       |       | 1200          |       |       | 1600           |       |       | 2000           |       |       | 2600          |       |        | 3200           |        |        |
| Curso de abertura                          | mm      | 320            |       |       | 360           |       |       | 410            |       |       | 460            |       |       | 530           |       |        | 580            |        |        |
| Espaço entre colunas                       | mm×mm   | 365×365        |       |       | 415×375       |       |       | 460×440        |       |       | 510×510        |       |       | 570×570       |       |        | 670×670        |        |        |
| Máx. aberutra                              | mm      | 670            |       |       | 760           |       |       | 870            |       |       | 980            |       |       | 1100          |       |        | 1240           |        |        |
| Espessura do molde (mín.-Máx.)             | mm      | 130-350        |       |       | 145-400       |       |       | 160-460        |       |       | 180-520        |       |       | 205-570       |       |        | 220-660        |        |        |
| Curso do extrator                          | mm      | 100            |       |       | 120           |       |       | 140            |       |       | 150            |       |       | 160           |       |        | 170            |        |        |
| Número de orifícios de pino extrator       |         | 5              |       |       | 5             |       |       | 5              |       |       | 5              |       |       | 13            |       |        | 13             |        |        |
| Força do extrator                          | kN      | 28             |       |       | 42            |       |       | 42             |       |       | 49             |       |       | 77            |       |        | 77             |        |        |
| <b>Unidade de energia</b>                  |         |                |       |       |               |       |       |                |       |       |                |       |       |               |       |        |                |        |        |
| Máx. pressão do sistema                    | MPa     | 17.5           |       |       | 17.5          |       |       | 17.5           |       |       | 17.5           |       |       | 17.5          |       |        | 17.5           |        |        |
| Potência máx. do motor                     | kW      | 17.8           |       |       | 21.4          |       |       | 25.2           |       |       | 29.3           |       |       | 29.3          |       |        | 35.2           |        |        |
| Capacidade de aquecimento                  | kW      | 6.9/7.8        |       |       | 9/10.1        |       |       | 10.9/12.1      |       |       | 13.06/15.36    |       |       | 13.06/15.36   |       |        | 22.9           |        |        |
| Número de zonas de controle de temperatura |         | 4              |       |       | 4             |       |       | 4              |       |       | 5              |       |       | 5             |       |        | 5              |        |        |
| <b>Geral</b>                               |         |                |       |       |               |       |       |                |       |       |                |       |       |               |       |        |                |        |        |
| Tempo de ciclo seco                        | s       | 1.9            |       |       | 1.9           |       |       | 2.1            |       |       | 2.7            |       |       | 2.8           |       |        | 3.4            |        |        |
| Capacidade do tanque de óleo               | L       | 120            |       |       | 146           |       |       | 167            |       |       | 230            |       |       | 230           |       |        | 326            |        |        |
| Dimensões da máquina (CxLxA)               | m×m×m   | 4.34×1.07×1.86 |       |       | 4.4×1.19×1.89 |       |       | 4.99×1.20×1.98 |       |       | 5.47×1.27×2.04 |       |       | 5.87×1.53×2.1 |       |        | 6.63×1.66×2.42 |        |        |
| Peso da máquina                            | kg      | 2900           |       |       | 3500          |       |       | 4300           |       |       | 5300           |       |       | 7000          |       |        | 9200           |        |        |

1. Volume teórico de injeção = área seccional do cilindro × curso de injeção;

2. Peso da injeção = volume teórico da injeção × 0,92 (GPPS);

3. Devido a melhorias, as especificações podem ser alteradas sem aviso prévio.

4. Informe-nos se você precisa produzir peças feitas de plásticos de engenharia como PVC, PC e PMMA ou se tiver outros requisitos especiais;

5. A especificação do tamanho da máquina é baseada em cilindro de tamanho médio

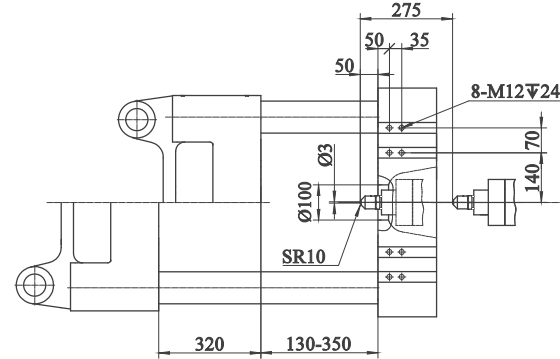
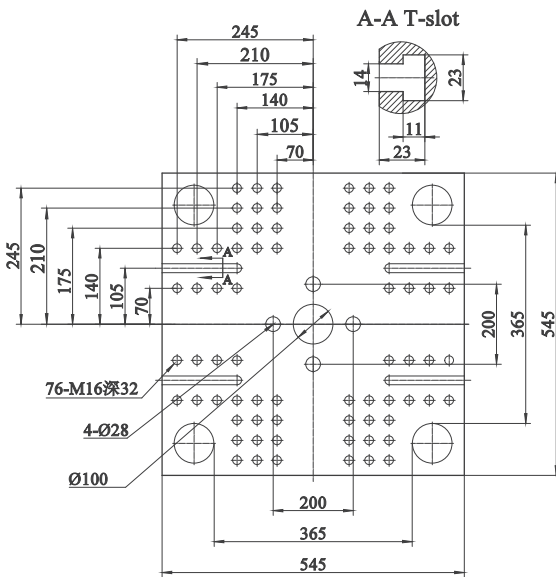
Se necessitar de um cilindro de grande dimensão ou de um modelo de máquina especial, consulte o tamanho real da YIZUMI.

## Especificações

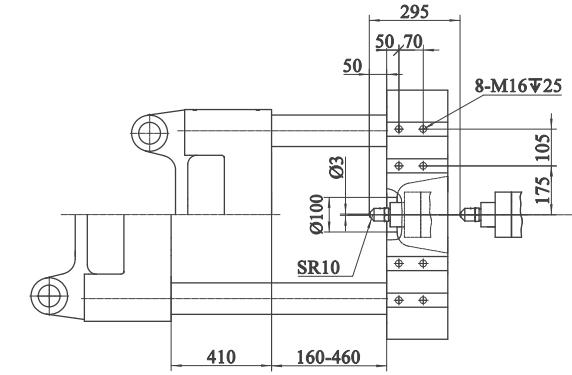
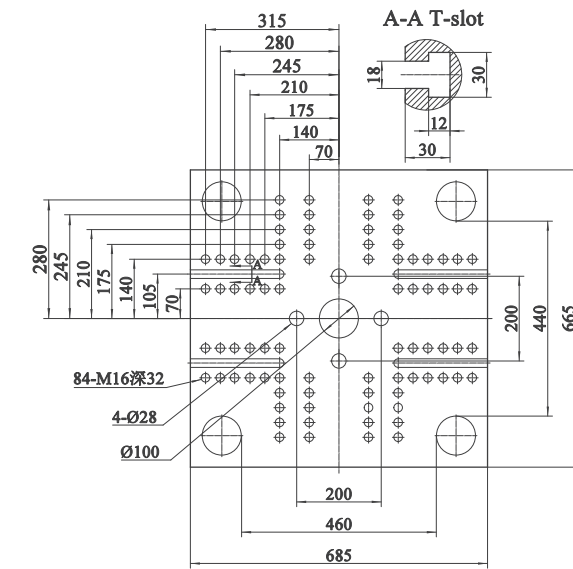
| Descrição                                  | Unidade | UN380SKIII |        |        | UN450SKIII  |        |        | UN530SKIII        |        |        | UN630SKIII        |        |        | UN750SKIII |        |        | UN1000SKIII |        |        |        |        |        |        |
|--|---------|------------|--------|--------|-------------|--------|--------|-------------------|--------|--------|-------------------|--------|--------|------------|--------|--------|-------------|--------|--------|--------|--------|--------|--------|
|  |         | IU2250     |        |        | IU3200      |        |        | IU4100            |        |        | IU4500            |        |        | IU6700     |        |        | IU9010      |        |        |        |        |        |        |
| Tamanho internacional                      |         | 2268       |        |        | 3216        |        |        | 4209              |        |        | 4717              |        |        | 6792       |        |        | IU9022      |        |        |        |        |        |        |
| <b>Unidade de injeção</b>                  |         |            |        |        |             |        |        |                   |        |        |                   |        |        |            |        |        |             |        |        |        |        |        |        |
| Volume de injeção teórico                  | cm³     | 1095.0     | 1270.0 | 1658.7 | 1423.9      | 1859.8 | 2459.5 | 2211.6            | 2438.3 | 2924.9 | 3455.7            | 2211.6 | 2438.3 | 2924.9     | 3455.7 | 3190.8 | 3769.8      | 4397.1 | 5072.6 | 4319.6 | 5038.3 | 5812.4 | 6749.3 |
| Peso da injeção (PS)                       | g       | 1007.4     | 1168.4 | 1526.0 | 1310.0      | 1711.0 | 2262.8 | 2034.7            | 2243.2 | 2690.9 | 3179.2            | 2034.7 | 2243.2 | 2690.9     | 3179.2 | 2935.5 | 3468.2      | 4045.3 | 4666.8 | 3974.0 | 4635.3 | 5347.4 | 6209.4 |
|  | oz      | 35.6       | 41.3   | 53.9   | 46.3        | 60.5   | 80.0   | 71.9              | 79.3   | 95.1   | 112.3             | 71.9   | 79.3   | 95.1       | 112.3  | 103.7  | 122.6       | 142.9  | 164.9  | 140.4  | 163.8  | 189.0  | 219.4  |
| Diâmetro da rosca                          | mm      | 65         | 70     | 80     | 70          | 80     | 92     | 80                | 84     | 92     | 100               | 80     | 84     | 92         | 100    | 92     | 100         | 108    | 116    | 100    | 108    | 116    | 125    |
| Pressão de injeção                         | MPa     | 207.1      | 178.6  | 136.7  | 225.9       | 172.9  | 130.8  | 190.3             | 172.6  | 143.9  | 121.8             | 201.7  | 182.9  | 152.5      | 129.1  | 212.9  | 180.2       | 154.5  | 133.9  | 208.9  | 179.1  | 155.2  | 133.7  |
| Taxa de injeção                            | g/s     | 308.3      | 357.6  | 467.1  | 356.5       | 465.7  | 615.8  | 470.3             | 518.5  | 622.0  | 734.8             | 443.9  | 489.4  | 587.1      | 693.6  | 555.9  | 656.8       | 766.1  | 883.8  | 659.0  | 768.6  | 886.7  | 1029.6 |
| Rosca L:D                                  |         | 21.5:1     | 20:1   | 20:1   | 22.8:1      | 20:1   | 20:1   | 23.2:1            | 22:1   | 21.7:1 | 20:1              | 23.2:1 | 22:1   | 21.7:1     | 20:1   | 21.7:1 | 22:1        | 21.5:1 | 20:1   | 21.7:1 | 22:1   | 21.5:1 | 20:1   |
| Efeito de plastificação                    | g/s     | 48.2       | 59.8   | 84.1   | 55.2        | 73.8   | 82.9   | 66.2              | 72.5   | 82.5   | 86                | 66.2   | 72.5   | 91.5       | 88.2   | 90.2   | 105.3       | 124.3  | 143.2  | 90.2   | 106.7  | 132.2  | 143.5  |
| Máx. velocidade de injeção                 | mm/s    | 101        |        |        | 100.7       |        |        | 101.7             |        |        | 96.0              |        |        | 90.9       |        |        | 91.2        |        |        |        |        |        |        |
| Curso da rosca                             | mm      | 330        |        |        | 370         |        |        | 440               |        |        | 440               |        |        | 480        |        |        | 550         |        |        |        |        |        |        |
| Velocidade da rosca                        | r/min   | 0-176      |        |        | 0-163       |        |        | 0-147             |        |        | 0-128             |        |        | 0-147      |        |        | 0-120       |        |        | 0-118  |        |        |        |
| <b>Unidade de fechamento</b>               |         |            |        |        |             |        |        |                   |        |        |                   |        |        |            |        |        |             |        |        | 10000  |        |        |        |
| Força de fechamento                        | kN      | 3800       |        |        | 4500        |        |        | 5300              |        |        | 6300              |        |        | 7500       |        |        |             |        |        |        |        |        |        |
| Curso de abertura                          | mm      | 660        |        |        | 740         |        |        | 825               |        |        | 900               |        |        | 980        |        |        | 1120        |        |        |        |        |        |        |
| Espaço entre colunas                       | mm×mm   | 710×710    |        |        | 780×780     |        |        | 830×800           |        |        | 880×880           |        |        | 980×960    |        |        | 1090×1090   |        |        |        |        |        |        |
| Máx. aberutra                              | mm      | 1370       |        |        | 1520        |        |        | 1675              |        |        | 1800              |        |        | 1960       |        |        | 2220        |        |        |        |        |        |        |
| Espessura do molde (mín.-Máx.)             | mm      | 250-710    |        |        | 310-780     |        |        | 350-850           |        |        | 400-900           |        |        | 400-980    |        |        | 500-1100    |        |        |        |        |        |        |
| Curso do extrator                          | mm      | 210        |        |        | 220         |        |        | 220               |        |        | 280               |        |        | 280        |        |        | 320         |        |        |        |        |        |        |
| Número de orifícios de pino extrator       |         | 13         |        |        | 13          |        |        | 17                |        |        | 21                |        |        | 21         |        |        | 21          |        |        |        |        |        |        |
| Força do extrator                          | kN      | 110        |        |        | 110         |        |        | 166               |        |        | 182               |        |        | 182        |        |        | 215         |        |        |        |        |        |        |
| <b>Unidade de energia</b>                  |         |            |        |        |             |        |        |                   |        |        |                   |        |        |            |        |        |             |        |        |        |        |        |        |
| Máx. pressão do sistema                    | MPa     | 17.5       |        |        | 17.5        |        |        | 17.5              |        |        | 17.5              |        |        | 17.5       |        |        | 17.5        |        |        |        |        |        |        |
| Potência máx. do motor                     | kW      | 51.3       |        |        | 58.6        |        |        | 67.4              |        |        | 67.4              |        |        | 80         |        |        | 98.4        |        |        |        |        |        |        |
| Capacidade de aquecimento                  | kW      | 25.1/27.44 |        |        | 31.33/39.22 |        |        | 33.69/36.69/41.94 |        |        | 33.69/36.69/41.94 |        |        | 42/51      |        |        | 46.5/63.6   |        |        |        |        |        |        |
| Número de zonas de controle de temperatura |         | 5          |        |        | 6           |        |        | 6                 |        |        | 7                 |        |        | 7          |        |        | 6           |        |        |        |        |        |        |
| <b>Geral</b>                               |         |            |        |        |             |        |        |                   |        |        |                   |        |        |            |        |        |             |        |        |        |        |        |        |

## Dimensões da placa

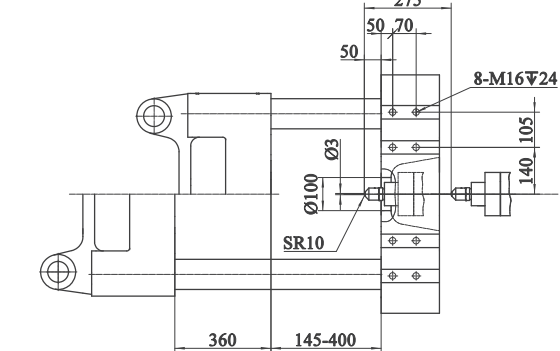
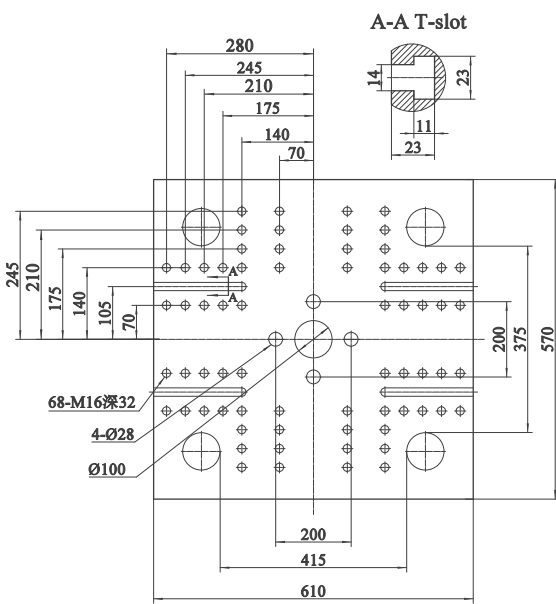
UN90SKIII



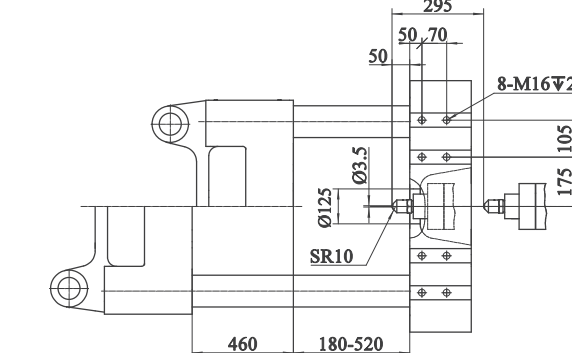
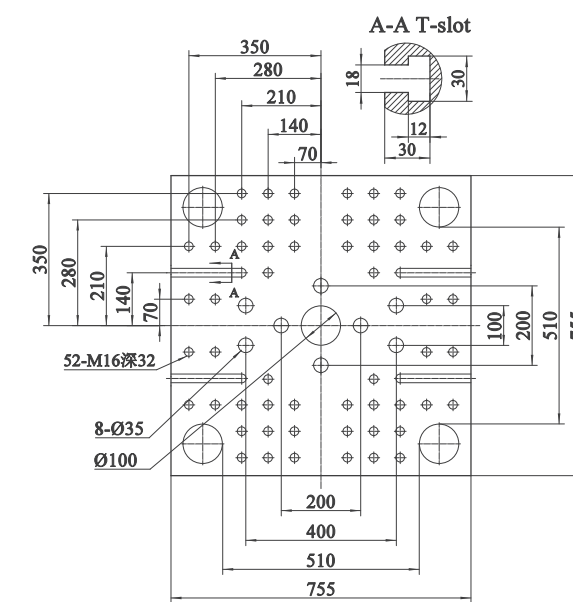
UN160SKIII



UN120SKIII



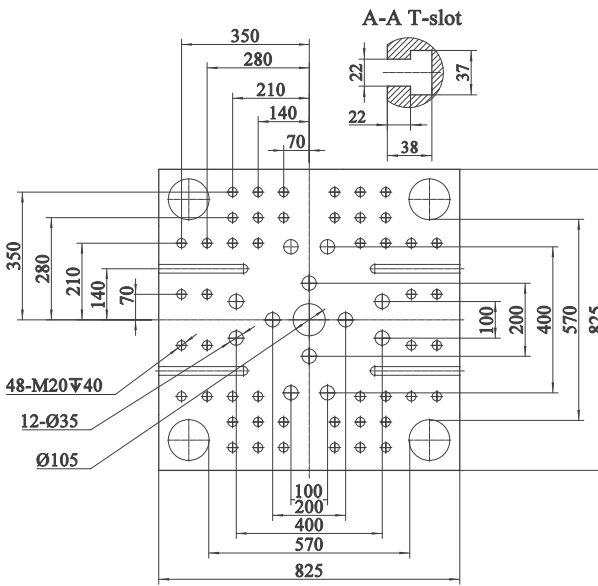
UN200SKIII



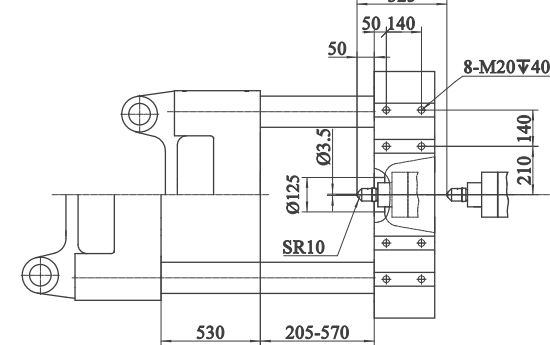
\* Os dados acima foram adquiridos através de testes de fábrica, apenas para sua referência.  
Os dados específicos estão de acordo com o equipamento real.

# Dimensões da placa

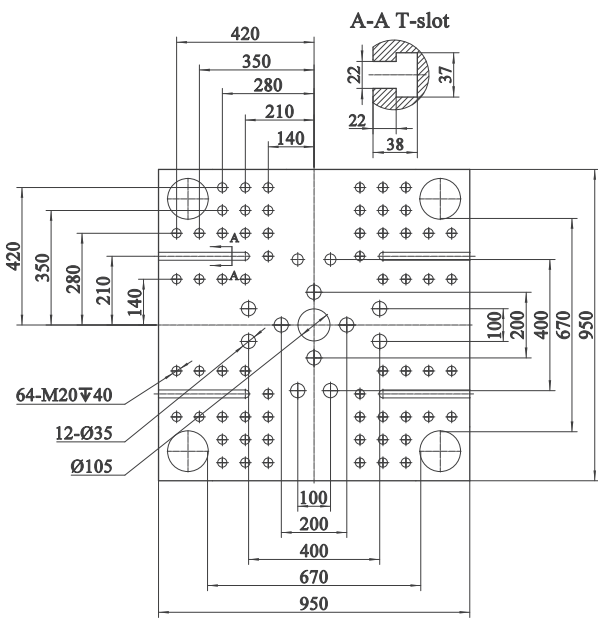
UN260SKIII



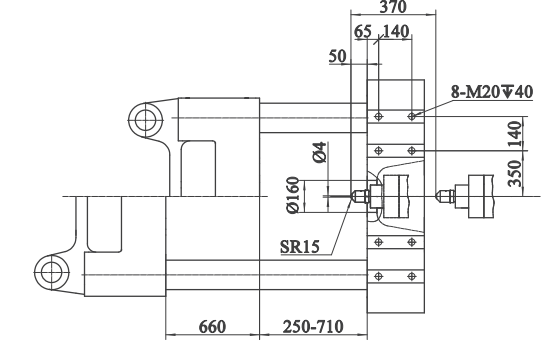
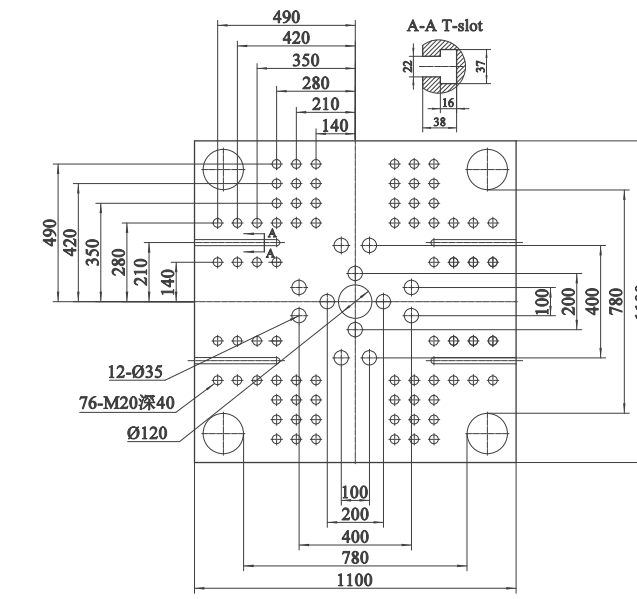
UN380SKII



UN320SKIII



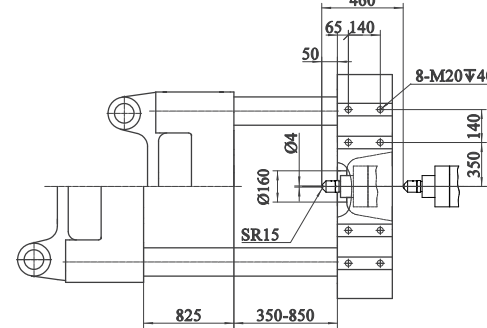
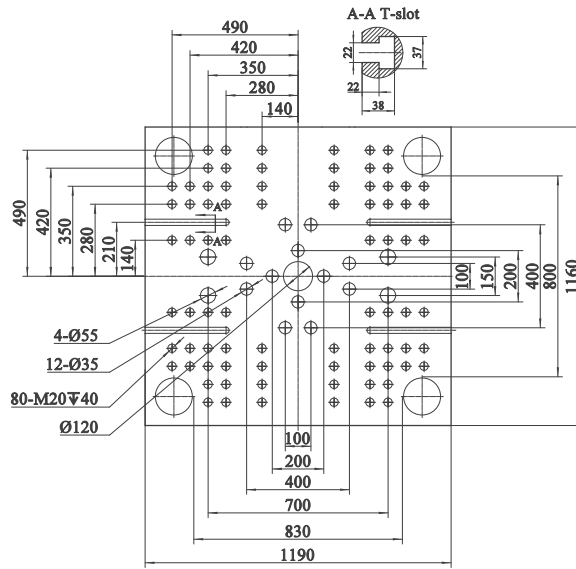
UN450SKII



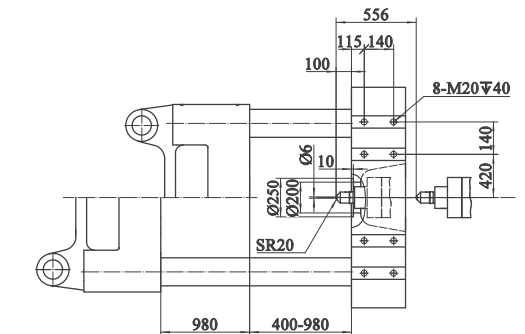
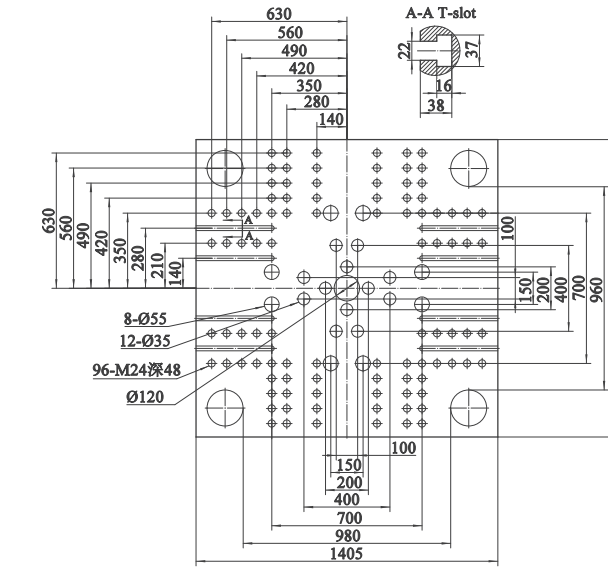
\* Os dados acima foram adquiridos através de testes de fábrica, apenas para sua referência.  
Os dados específicos estão de acordo com o equipamento real.

# Dimensões da placa

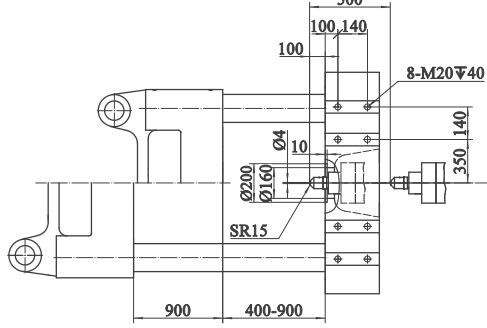
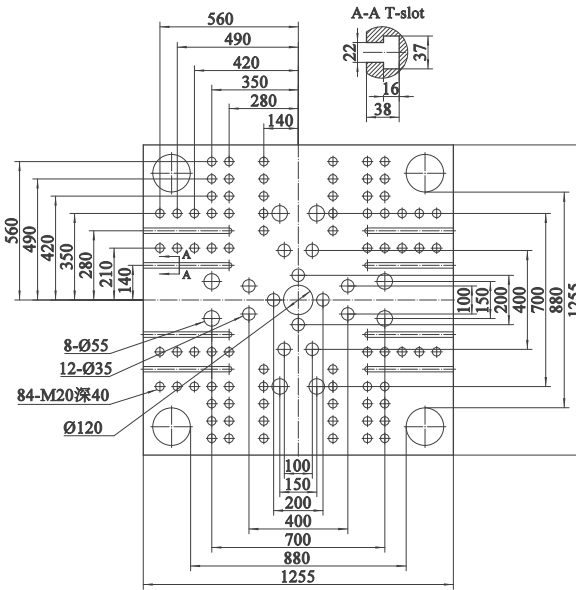
UN530SKIII



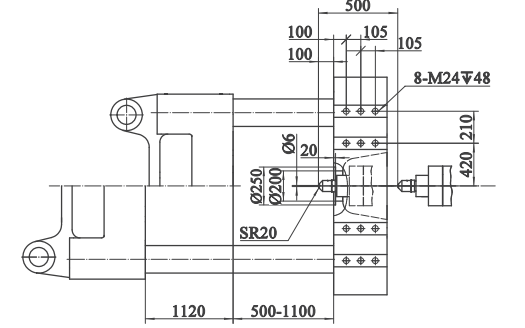
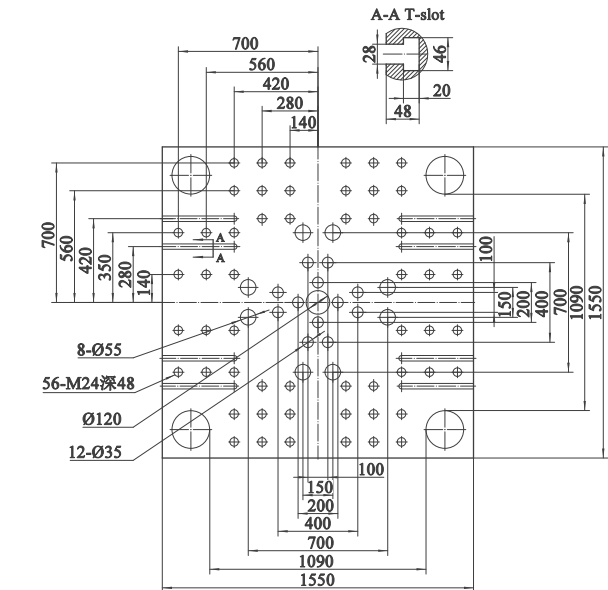
UN750SKI



UN630SKIII



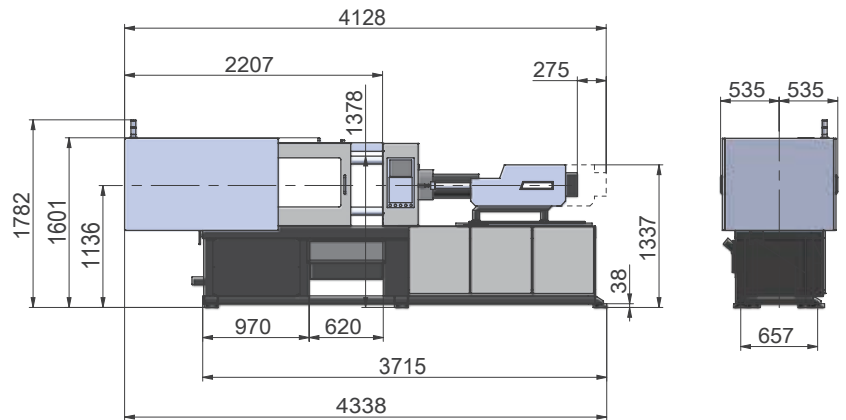
UN1000SK



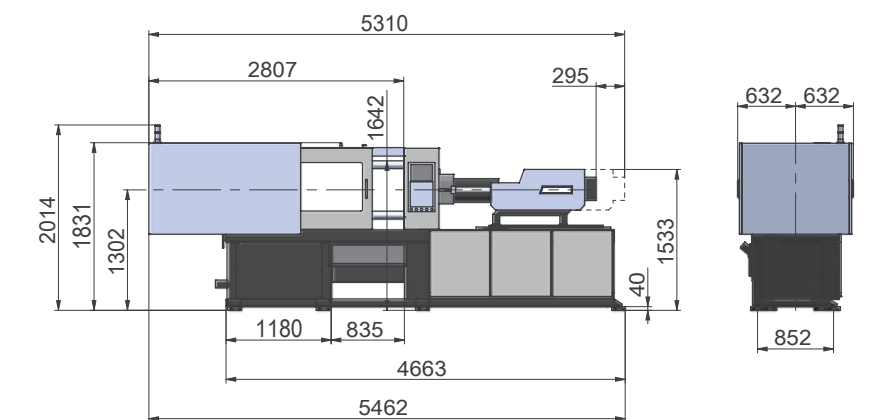
\* Os dados acima foram adquiridos através de testes de fábrica, apenas para sua referência. Os dados específicos estão de acordo com o equipamento real.

## Dimensões da máquina

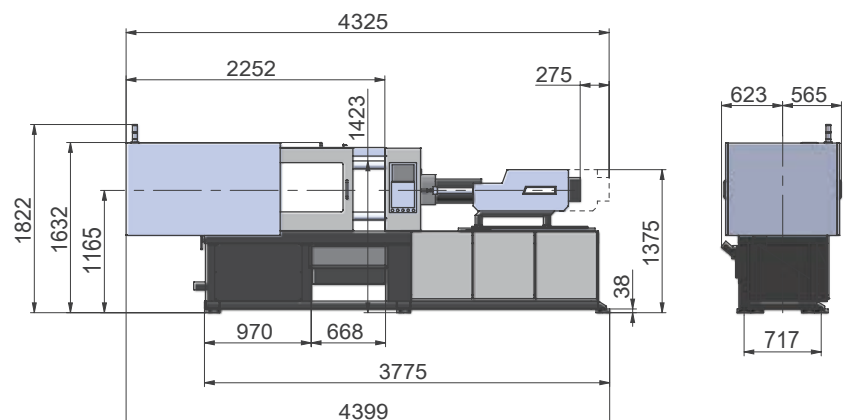
UN90SKIII



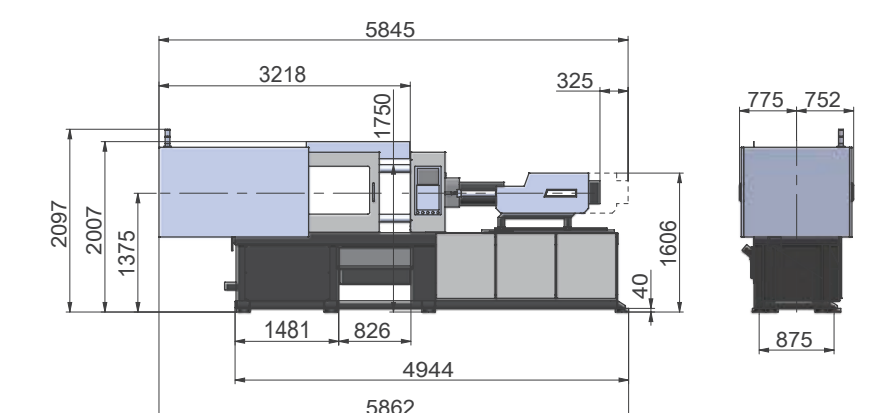
UN200SKIII



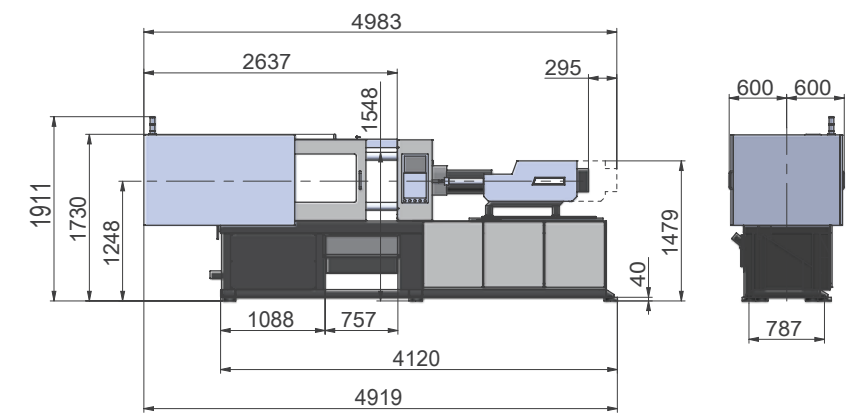
UN120SKIII



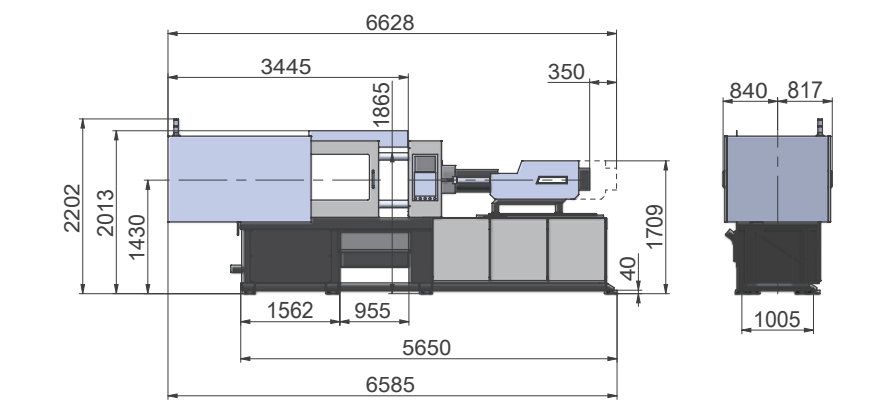
UN260SKIII



UN160SKIII

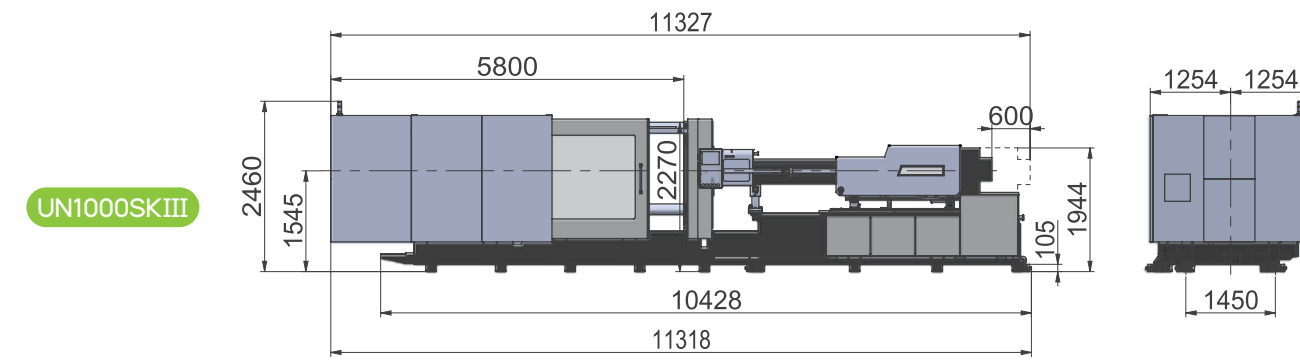
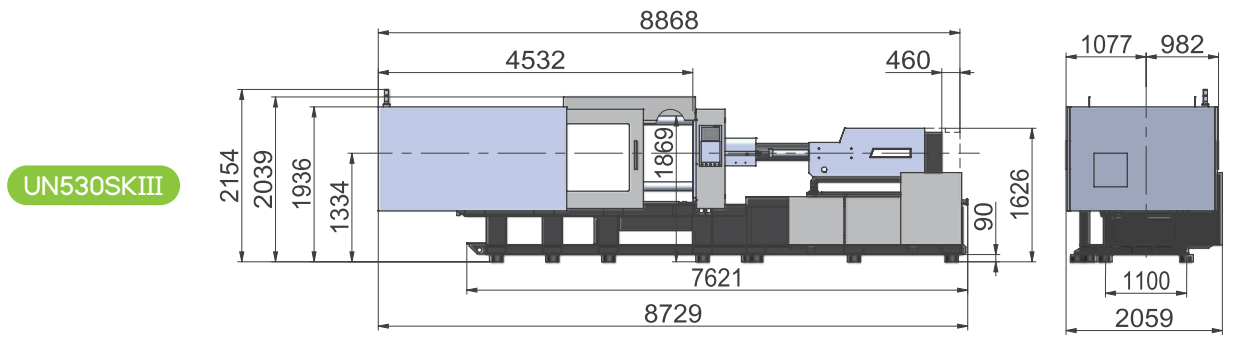
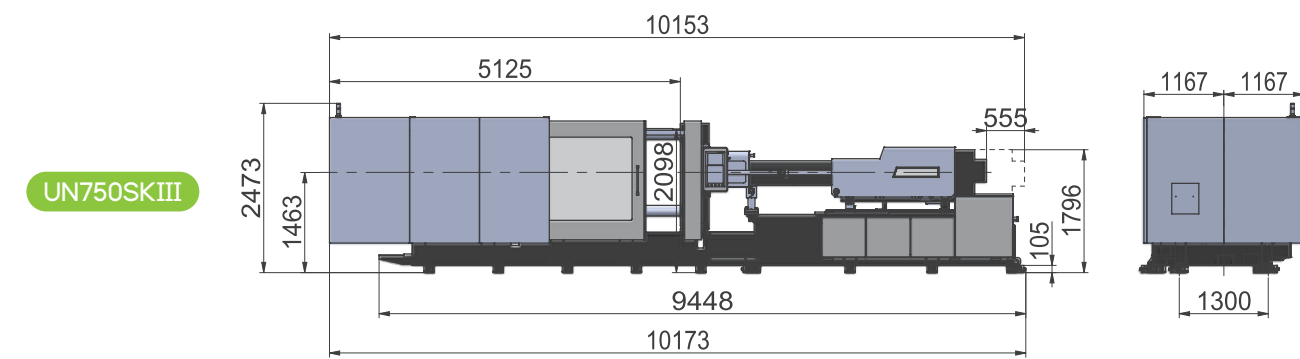
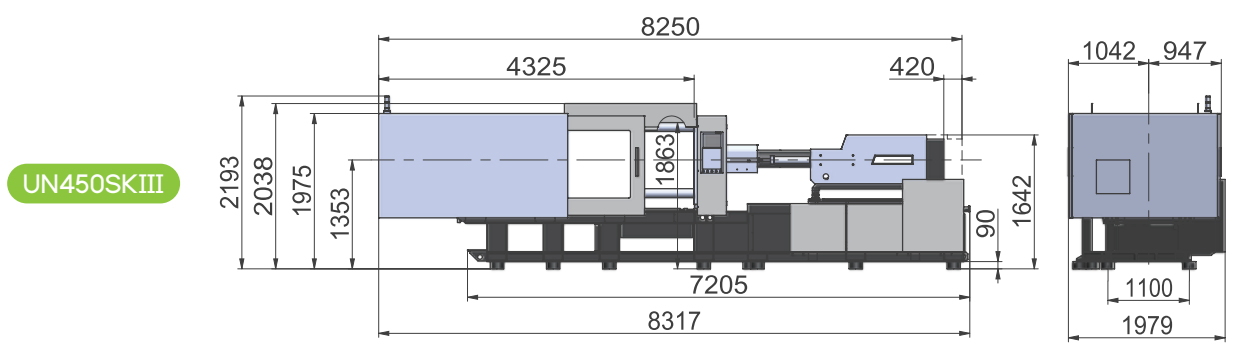
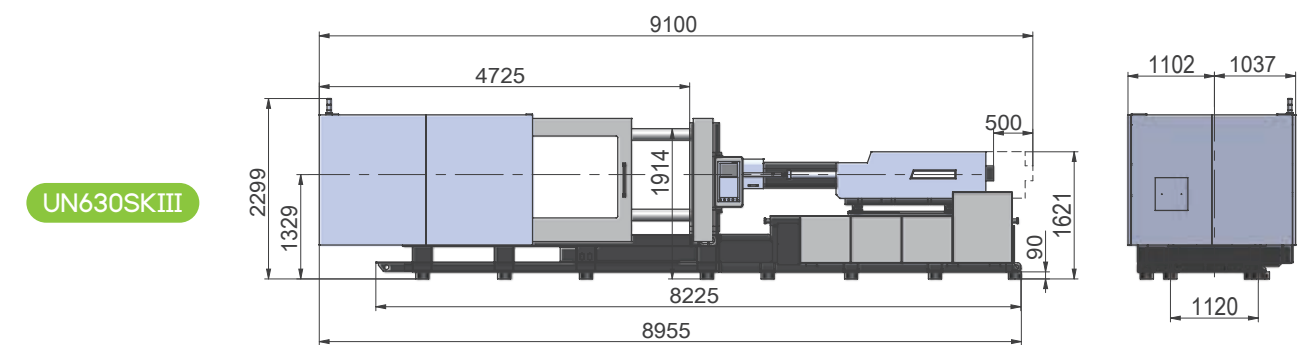
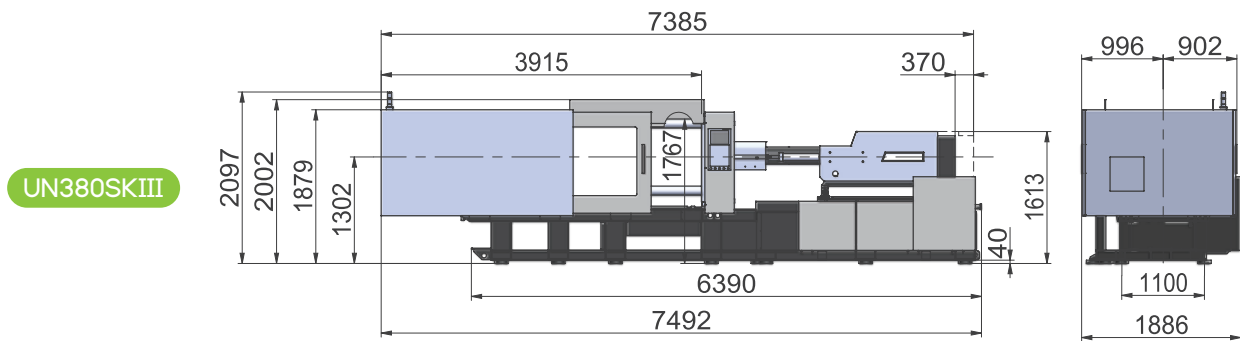


UN320SKIII



\* Os dados acima foram adquiridos através de testes de fábrica, apenas para sua referência.  
Os dados específicos estão de acordo com o equipamento real.

## Dimensões da máquina



\* Os dados acima foram adquiridos através de testes de fábrica, apenas para sua referência.  
Os dados específicos estão de acordo com o equipamento real.

# UN90-530SKIII recursos padrão e recursos opcionais

|  | Padrão | Opcional |
|--|--------|----------|
| <b>Unidade de Injeção</b>  |        |          |
| Suporte de unidade de injeção de peça única com guias lineares   | ●      |          |
| Sistema de injeção de cilindro duplo paralelo  | ●      |          |
| Motor hidráulico de alto torque e baixa velocidade   | ●      |          |
| Rosca e cilindro em liga de aço nitretado  | ●      |          |
| Projeto de ranhura de economia de energia do cilindro (design patenteado)  | ●      |          |
| Controle de temperatura do cilindro PID de vários estágios (estágio 4-7)   | ●      |          |
| Cilindro de carro duplo  | ●      |          |
| Deteção automática de falhas de injeção e plastificação  | ●      |          |
| Transdutor de precisão para controle de injeção / curso de plastificação   | ●      |          |
| Proteção de partida a frio   | ●      |          |
| Purga automática   | ●      |          |
| Sucção selecionável antes ou depois da plastificação   | ●      |          |
| Controle de injeção de 6 estágios (velocidade, pressão, posição)   | ●      |          |
| Controle de pressão de retenção de 5 estágios (velocidade, pressão, posição)   | ●      |          |
| Controle de armazenamento de 3 estágios (velocidade, pressão, posição)   | ●      |          |
| Funil deslizante (60T-320T)  | ●      |          |
| Bico estendido   | ○      |          |
| Unidade de cilindro dedicada (Galvanoplastia, liga, PC, PMMA , PBT, ect.)  | ○      |          |
| Dispositivo de refrigeração de ar em cilindro  | ○      |          |
| Bico de fechamento por mola/bico hidráulico  | ○      |          |
| Aumento do curso da injeção ou unidade de injeção maior (menor)  | ○      |          |
| Unidade de injeção giratória   | ○      |          |
| Faixa de aquecimento de cerâmica (padrão em máquinas acima de 630T)  | ○      |          |
| Dispositivo de economia de energia com retenção de calor em cilindro (preservação de calor em silicone, aquecimento infravermelho) | ○      |          |
| Funil em aço inoxidável  | ○      |          |
| <b>Unidade de fechamento</b>   |        |          |
| Transdutor de precisão para controle de curso de fechamento / extrator/ curso de injeção   | ●      |          |
| Placas de fechamento / alternadores de ferro dúctil altamente rígido QT500-7A  | ●      |          |
| Controle de avanço/retrocesso do ejetor de 2 estágios  | ●      |          |
| Orifícios de montagem para robôs baseados no EUROMAP   | ●      |          |
| Dispositivo de ajuste de altura do molde hidráulico  | ●      |          |
| Dispositivos de segurança hidráulicos/elétricos  | ●      |          |
| Calhas de apoio em aço de manganês resistentes ao desgaste para a placa móvel  | ●      |          |
| Sistema de lubrificação centralizada automática  | ●      |          |
| Múltiplas configurações da função de extrator  | ●      |          |
| Proteção de molde de baixa pressão   | ●      |          |
| Placa com ranhuras em T e furos para parafusos   | ●      |          |
| Orifício especial de montagem do molde   | ○      |          |
| Placa de isolamento térmico  | ○      |          |
| Maior força e curso do ejetor  | ○      |          |
| Maior espessura do molde   | ○      |          |
| Placa magnética  | ○      |          |
| Dispositivo de levantamento de molde   | ○      |          |
| <b>Sistema hidráulico</b>  |        |          |
| Sistema servomotor de quarta geração   | ●      |          |
| Filtro de óleo de alta precisão  | ●      |          |
| Circuito hidráulico com baixo ruído e eficiência energética  | ●      |          |
| Válvula hidráulica de alto desempenho  | ●      |          |
| Resfriador externo   | ●      |          |

|  | Padrão | Opcional |
|--|--------|----------|
| <b>Calibração automática de pressão e fluxo</b>                                    |        |          |
| Contrapressão do dispositivo de ajuste de plastificação                            | ●      |          |
| Retenção de mangueira de cabo para mangueira hidráulica HP exposta                 | ●      |          |
| Dispositivos de água de resfriamento multicanal com conectores rápidos             | ●      |          |
| Vedações de baixo atrito   | ●      |          |
| Sistema de bomba de deslocamento variável  | ○      |          |
| Bomba de óleo e motor ampliados (1 estágio)  | ○      |          |
| Motor de plastificação ampliado (multi-estágios)                                   | ○      |          |
| Sistema sincronizado de injeção, extração do macho e plastificação                 | ○      |          |
| Servoválvula para injeção  | ○      |          |
| Válvula proporcional para abertura e fechamento do molde                           | ○      |          |
| Vários conjuntos de extrator de macho  | ○      |          |
| Dispositivo adicional de desaparafusamento hidráulico                              | ○      |          |
| Controle independente de temperatura do óleo                                       | ○      |          |
| Deteção e alarme automáticos de temperatura do óleo                                | ○      |          |
| <b>Sistema de controle</b>   |        |          |
| Proteção do aquecedor de cilindro  | ●      |          |
| Inspeção de entrada / saída  | ●      |          |
| Retenção automática de calor e configuração automática de aquecimento              | ●      |          |
| Passagem de tempo / posição / hora + posição controlada da injeção para a retenção | ●      |          |
| Ajuste separado da inclinação do movimento   | ●      |          |
| Ajuste automático da força de fechamento   | ●      |          |
| Função de bloqueio de dados de moldagem  | ●      |          |
| Espaço de armazenamento para 1.000 conjuntos de parâmetros de processo             | ●      |          |
| Tela TFT True Color de 10,4"   | ●      |          |
| Vários idiomas operacionais  | ●      |          |
| Dois conjuntos de tomadas trifásicas (16A+32A)                                     | ●      |          |
| Interfaces reservadas para sopradores de ar, machos e proteção reversa do ejetor   | ●      |          |
| Botões de parada de emergência para portões de segurança dianteiros e traseiros    | ●      |          |
| Luz de alarme de duas cores  | ●      |          |
| Interface de câmara quente   | ○      |          |
| Válvula de sequência pneumática  | ○      |          |
| Interface para dispositivo elétrico de desaparafusamento                           | ○      |          |
| Sopro de ar com válvula  | ○      |          |
| Dispositivo de injeção assistida por ar  | ○      |          |
| Sistema de monitoramento central (em rede)   | ○      |          |
| Grade de proteção de portões de segurança  | ○      |          |
| Exibição do consumo total de energia   | ○      |          |
| Alteração da tensão da fonte de alimentação  | ○      |          |
| <b>Outros</b>  |        |          |
| Manual de operações  | ●      |          |
| Pés de nivelamento   | ●      |          |
| Placa de retenção de molde   | ●      |          |
| Um kit de ferramentas e um elemento de filtro de precisão                          | ●      |          |
| Carregador automático  | ○      |          |
| Medidor de vazão de tubo de vidro  | ○      |          |
| Secador  | ○      |          |
| Desumidificador  | ○      |          |
| Controlador de temperatura do molde  | ○      |          |

# UN630-1000SKIII recursos padrão e recursos opcionais

|  | Padrão | Opcional | Padrão   | Opcional |
|--|--------|----------|--|----------|
| <b>Unidade de Injeção</b>  |        |          |  |          |
| Suporte de unidade de injeção de peça única com guias lineares   | ●      |          | Calibração automática de pressão e fluxo   | ●        |
| Sistema de injeção de cilindro duplo paralelo  | ●      |          | Contrapressão do dispositivo de ajuste de plastificação                            | ●        |
| Motor hidráulico de alto torque e baixa velocidade   | ●      |          | Retenção de mangueira de cabo para mangueira hidráulica HP exposta                 | ●        |
| Rosca e cilindro em liga de aço nitretado  | ●      |          | Dispositivos de água de resfriamento multicanal com conectores rápidos             | ●        |
| Projeto de ranhura de economia de energia do cilindro (design patenteado)  | ●      |          | Vedaçāo de baixo atrito  | ●        |
| Controle de temperatura do cilindro PID de vários estágios (estágio 6-9)   | ●      |          | Sistema de bomba de deslocamento variável  | ○        |
| Cilindro de carro duplo  | ●      |          | Bomba de óleo e motor ampliados (1 estágio)  | ○        |
| Deteção automática de falhas de injeção e plastificação  | ●      |          | Motor de plastificação ampliado (multi-estágios)                                   | ○        |
| Transdutor de precisão para controle de injeção / curso de plastificação   | ●      |          | Sistema sincronizado de ejeção, extração do macho e plastificação                  | ○        |
| Proteção de partida a frio   | ●      |          | Servoválvula para injeção  | ○        |
| Purga automática   | ●      |          | Válvula proporcional para abertura e fechamento do molde                           | ○        |
| Sucção selecionável antes ou depois da plastificação   | ●      |          | Vários conjuntos de extrator de macho  | ○        |
| Controle de injeção de 6 estágios (velocidade, pressão, posição)   | ●      |          | Dispositivo adicional de desaparafusamento hidráulico                              | ○        |
| Controle de pressão de retenção de 5 estágios (velocidade, pressão, posição)   | ●      |          | Controle independente de temperatura do óleo                                       | ○        |
| Controle de armazenamento de 3 estágios (velocidade, pressão, posição)   | ●      |          | Deteção e alarme automáticos de temperatura do óleo                                | ○        |
| Contrapressão proporcional digital   | ●      |          | <b>Sistema de controle</b>   |          |
| Bico estendido   | ○      |          | Proteção do aquecedor de cilindro  | ●        |
| Unidade de cilindro dedicada (galvanizada, ligada, PC, PMMA, PBT, ect.)  | ○      |          | Inspeção de entrada / saída  | ●        |
| Dispositivo de refrigeração de ar em cilindro  | ○      |          | Retenção automática de calor e configuração automática de aquecimento              | ●        |
| Bico de fechamento por mola/bico hidráulico  | ○      |          | Passagem de tempo / posição / hora + posição controlada da injeção para a retenção | ●        |
| Aumento do curso da injeção ou unidade de injeção maior (menor)  | ○      |          | Ajuste separado da inclinação do movimento   | ●        |
| Unidade de injeção giratória   | ○      |          | Ajuste automático da força de fechamento   | ●        |
| Funil deslizante   | ○      |          | Função de bloqueio de dados de moldagem  | ●        |
| Dispositivo de economia de energia com retenção de calor em cilindro (preservação de calor em silicone, aquecimento infravermelho) | ○      |          | Espaço de armazenamento para 1.000 conjuntos de parâmetros de processo             | ●        |
| Funil em aço inoxidável  | ○      |          | Tela TFT em cores reais de 10,4"   | ●        |
| Plataforma de carregamento   | ○      |          | Vários idiomas operacionais  | ●        |
| <b>Unidade de fechamento</b>   |        |          | Três conjuntos de tomadas trifásicas (2x32A+16A)                                   | ●        |
| Transdutor de precisão para controle de curso de fechamento / extrator/ curso de injeção   | ●      |          | Interfaces reservadas para sopradores de ar, machos e proteção reversa do ejetor   | ●        |
| Placas de fechamento / alternadores de ferro dúctil altamente rígido QT500-7A  | ●      |          | Botões de parada de emergência para portões de segurança dianteiros e traseiros    | ●        |
| Controle de avanço/retrocesso do ejetor de 2 estágios  | ●      |          | Luz de alarme de duas cores  | ●        |
| Orifícios de montagem para robôs baseados no EUROMAP   | ●      |          | Interface de câmara quente   | ○        |
| Dispositivo de ajuste de altura do molde hidráulico  | ●      |          | Válvula de sequência pneumática  | ○        |
| Dispositivos de segurança hidráulicos/elétricos  | ●      |          | Interface para dispositivo elétrico de desaparafusamento                           | ○        |
| Calhas de apoio em aço de manganês resistentes ao desgaste para a placa móvel  | ●      |          | Sopro de ar com válvula  | ○        |
| Sistema de lubrificação centralizada automática  | ●      |          | Dispositivo de injeção assistida por ar  | ○        |
| Múltiplas configurações da função de extrator  | ●      |          | Sistema de monitoramento central (em rede)   | ○        |
| Proteção de molde de baixa pressão   | ●      |          | Grade de proteção de portões de segurança  | ○        |
| Placa com ranhuras em T e furos para parafusos   | ●      |          | Exibição do consumo total de energia   | ○        |
| Orifício especial de montagem do molde   | ○      |          | Alteração da tensão da fonte de alimentação  | ○        |
| Placa de isolamento térmico  | ○      |          | <b>Outros</b>  |          |
| Curso do extrator aumentado  | ○      |          | Manual de operações  | ●        |
| Maior espessura do molde   | ○      |          | Pés de nivelamento   | ●        |
| Placa magnética  | ○      |          | Placa de retenção de molde   | ●        |
| <b>Sistema hidráulico</b>  |        |          | Um kit de ferramentas e um elemento de filtro de precisão                          | ●        |
| Sistema de servo-bomba de terceira geração   | ●      |          | Carregador automático  | ○        |
| Filtro de óleo de alta precisão  | ●      |          | Medidor de vazão de tubo de vidro  | ○        |
| Circuito hidráulico com baixo ruído e eficiência energética  | ●      |          | Secador  | ○        |
| Válvula hidráulica de alto desempenho  | ●      |          | Desumidificador  | ○        |
| Resfriador externo   | ●      |          | Controlador de temperatura do molde  | ○        |



**THINK  
TECH FORWARD**